

横浜国立大学 正義 山田 均
横浜国立大学 正義 宮田 利雄
横浜国立大学 浅野勇 山下 幸俊

長方形断面に密か不安定振動に対する迎角と気流の流れの結果について、最近様々な見解が示され、現象そのものに対する理解が深まりつつある。著者らは、現象を明確にすることは目的とし、現象に対する断面の周囲流正歪み 193×-1 と $1/2$ 断面比の変化、及び、主流にかけられていな位置で、弹性支承振動応答、及び、非定常応力特性を調べて、今回、主に、これら「弹性支承振動」現象について前報から、剪断流と Afterbody との關係が大きな効果を持つことによること、断面比とともに周囲流正歪み $1/2$ の要因である迎角を、 $\alpha = 193 \times -1$ と $1/2$ と比較して、主流におけるそれの存在の有無、それに迎角と $1/2$ による影響を調べた。以下は、その結果である。

使用した模型は、迎角 α と主流に直角に立てる $1/2$ 断面 $(d \times b = 25 \times 150 \text{ mm})$ 、 $1/4$ 断面 $(25 \times 700 \text{ mm})$ の長方形断面柱である。乱流下気流は一連の報告の中では使用せず、同一の主流方向に直角のスケール $L_s = 7.3 \text{ cm}$ で直角の角度 $\theta = 11^\circ$ の場合である。非定常応力は結果の非定常応力と同様、手法を用いて圧力変動を起算して求めた。

まず、以下の場合を下り $1/2$ 自由度で測定した。

弹性支承振動応答 図1、図2は $1/2$ 断面、 $1/4$ 断面の弹性支承振動応答を示す。マス・ダンピング $= 193 \times -1$ ($\frac{2\pi}{T} = 5 \text{ rad/s}$) の場合、振幅比が 50 程度のところを基準とし、 $1/2$ の場合と 2 程度である。 $1/2$ 断面の場合、 $1/2$ の迎角の場合と、一樣の気流中で制御された振動応答が、乱流下気流中で消滅するようになり、振動応答は見えない、主流に直角がかかる効果はなく、迎角による影響は、 $0^\circ \rightarrow 6^\circ \rightarrow 10^\circ$ の変化は小さいが 10° の場合、振動並行風速域の高風速側で平行し、振動応答振幅が $1/2$ の場合、 2 の場合と同様、特性を変えていく。(図1)

$1/4$ 断面の場合、 $1/2$ 断面とは異なり、迎角 0° における効果を下で受けた振動応答を消滅する特徴を持ち、 $1/2$ の迎角変化は伴い、特性が変化する傾向にある。そのため、迎角 3° のときは、相違せず、主流に直角がかかるところでは振動応答が消滅するようである。 $1/4$ 断面は図1-2 と同様の弹性支承振動応答を持つが、主流に直角がかかるところでは $1/2$ の場合と同様、迎角が下で下ると平行風速域の高風速側で平行し、一方、 $1/2$ 断面で見られた迎角による振動並行風速域の変化は見られない。(図2)。

非定常応力特性 図3-8は圧力変動の加振振幅数成分の振幅、及び、変位と位相差を示す。弹性支承振動応答について現われた迎角による主流に直角がかかるところの特性について非定常応力特性が説明されており、それは図3-8である。 $1/2$ 断面の振動並行風速域が平行し、図4より $U_r = 5.5^\circ$ のとき、迎角は 0° の

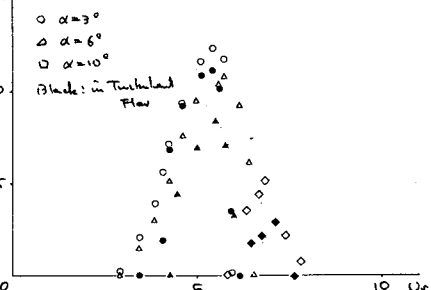


Fig. 1 Hearing Response of $1/2$ cylinder Angle of Attack = $3^\circ, 6^\circ, 10^\circ$

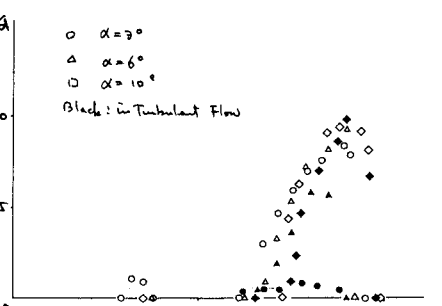


Fig. 2 Hearing Response of $1/4$ cylinder Angle of Attack = $3^\circ, 6^\circ, 10^\circ$

上の通りはあくまでも、特性を大き(変)えようとする差は圧しておらず、 $U_r = 5.5$ の領域が迎角 10° から振動応答が現われた時の時、図3、上面に現われた圧力変動振幅が、迎角を増すにつれて上流域より下流域へ大きくなる=この下流の下うごである。また、図6では、上面ではより高風速時に見られる位相特徴²⁾をとろに見て、下面では $U_r = 5.5$ の近くでみられた特性が、迎角を限り保ててあるようだ=これは $\gamma_1 = 8^\circ$ 、Total の空気か、1/2風下とて、迎角が増すにつれて振動応答が高風速側へ移行しては結果にならぬと思われる。同様な位相特徴を保てば、1/4断面、振動応答発生領域、高風速側で本題らしき。 $1/4$ 断面の迎角によると山の効果が変化 $127\% \sim 145\%$ 、1/4断面ごと、正面角をつけて上側で、圧力変動振幅、位相と共に風山の存在により影響を受ける傾向はほぼ同一。一方、下面では、迎角を増すと γ_1 は図3よりは頗る位相が劣る、下側面での大きな位相変化は、上流域、 $\gamma_1 < -30^\circ$ は迎角を増すと限られるようだ。 $\gamma_1 = 10^\circ$ の乱流した気流中では、この特性は二重化される。また、下面では、図3の中央位置の下には風山の影響を受けており、部分であり、一様流中の下面での位相特徴、概要と風山は必ず圧力変動振幅、減少 $\gamma_1 = 8^\circ$ 、逆相位振動応答の差が圧力 $\gamma_1 = 11^\circ$ である。

さて、実験は可べて東大工木工浮遊風洞 $= 84$ 行、下。東大河野、宇教俊=感謝。意正義可。

参考文献 1) 山田、宮田、伊藤: 第6回日本気象学会 '80.11 2) 山田、宮田、宮崎: 第35回土木学会年次学術講演会 '80.9

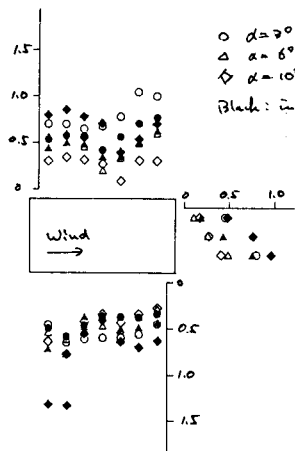


Fig. 3 Fourier Amplitude
 $Y_{1/2}$, $U_r = 5.5$ $\gamma_2/d = 0.10$

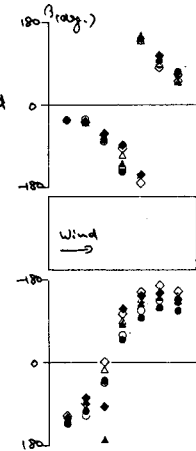


Fig. 4 Phase Difference
 Y_2 , $U_r = 5.5$ $\alpha/d = 0.10$

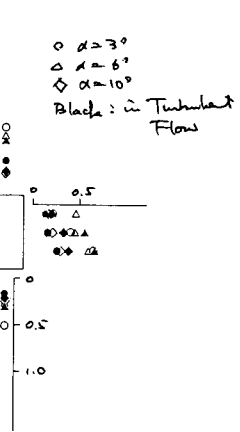


Fig. 5 Fourier Amplitude
 $Y_{1/2}$, $U_r = 6.5$ $\gamma_2/d = 0.06$

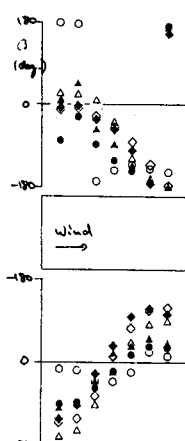


Fig. 6 Phase Difference
 Y_2 , $U_r = 6.5$ $\alpha/d = 0.06$



Fig. 7 Fourier Amplitude
 $Y_{1/4}$, $U_r = 8$ $\gamma_2/d = 0.06$

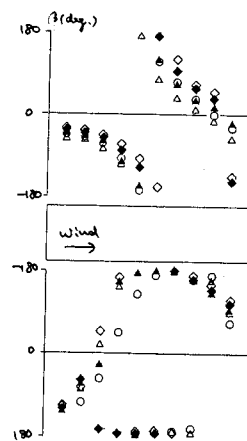


Fig. 8 Phase Difference
 Y_2 , $U_r = 8$ $\alpha/d = 0.06$